



دانشکده شیمی

جلسه دفاع از پایان نامه کارشناسی ارشد

عنوان :

مطالعه اثر تشکیل حلقه های پنج تایی بر روی موقعیت هندسی کمپلکس های دو هسته ای
ناهمسان هسته کبالت(III)-نیکل(II) در لیگاندهای دو حفره ای

استاد راهنما :

دکتر حمید گلچوبیان

استاد مشاور :

دکتر عباس اسلامی

ارائه دهنده :

پریسا غلام نژاد

مکان :

آمفی تئاتر دانشکده شیمی

زمان :

۸۸/۶/۱۶

ساعت ۱۰ صبح

چکیده

کمپلکس دو فلزی ناهمسان هسته Co(III)-Ni(II) با لیگاند دو حفره‌ای دارای جایگاه شش (N_4O_2) و پنج کوردینه (N_3O_2) با استفاده از روش مرحله سنتز شد. این مراحل شامل سنتز کمپلکس غیر حلقوی تک-فلزی کیالت(II) و تبدیل آن به کمپلکس درشت حلقة تک فلزی کیالت(III) می‌باشد که حفره پنج کوردینه آن توسط دو پروتون اشغال شده است. در مرحله آخر با معرفی یون فلزی دوم به کمپلکس تک فلزی کیالت(II)، کمپلکس دوفلزی ناهمسان هسته بدست می‌آید. کمپلکس‌های تک فلزی و دوفلزی سنتز شده توسط روش‌هایی مانند طیف‌بینی IR و همچنین طیف جذب الکترونی و ولتامتری چرخه‌ای و هدایت‌سنگی و تجزیه-عنصری مورد شناسایی قرار گرفتند. مطالعات انجام شده تقارن هندسی مورد انتظار C_2 که در آن یون کیالت(III) در کمپلکس تک فلزی ایمینی و آمینی در حفره N_4O_2 قرار گرفته و حلقه‌های پیریدینی بصورت ترانس در دو سمت صفحه مولکولی قرار دارند را تأیید نمود. انتظار می‌رود در کمپلکس دوهسته‌ای $\text{Co}^{\text{III}}\text{-Ni}^{\text{II}}$ دو حلقة پیریدینی ساختار ترانس خود را حفظ کرده باشند. همچنین یون Ni(II) در جایگاه چهار کوردینه قرار گرفته و ساختاری مسطح مربع داشته و علاوه بر اکسیژن‌های فنولی به نیتروژن‌های آمینی و ایمینی نیز متصل است. نتایج تجزیه عنصری، سنتز $[\text{Co}^{\text{II}}\text{L}^2(\text{H}_2)](\text{ClO}_4)_2$ را تأیید کرد. اما در مورد $[\text{Co}^{\text{III}}\text{L}^3(\text{H}_2)](\text{ClO}_4)_3$ و $[\text{Co}^{\text{III}}\text{L}^3\text{Ni}^{\text{II}}](\text{ClO}_4)_3$ نتایج تجزیه تجربی مطابق انتظار ما نبود. اظهار نظر قطعی درمورد ترکیب‌های $[\text{Co}^{\text{III}}\text{L}^2\text{Ni}^{\text{II}}](\text{ClO}_4)_2$ و $[\text{Co}^{\text{III}}\text{L}^3\text{Ni}^{\text{II}}](\text{ClO}_4)_3$ به دلیل عدم دسترسی به بلور این کمپلکس‌ها و در نتیجه بررسی پراش پرتو X، با تردید همراه است.

واژه کلیدی :

لیگاند دو حفره‌ای، کمپلکس غیر حلقوی تک فلزی، کمپلکس درشت حلقة، کمپلکس کیالت، کمپلکس دوفلزی ناهمسان هسته.

فهرست مطالب

عنوان	صفحه
فصل اول- مقدمه و تئوری	
۱-۱- ترکیبات درشت حلقه	۱
۲-۱- سنتز کمپلکس های دوهسته ای	۴
۲-۱-۱- کمپلکس های دوهسته ای همسان	۴
۲-۱-۲- کمپلکس های دوهسته ای ناهمسان	۷
۳-۱- خواص فیزیکی کمپلکس های دوهسته ای	۱۴
۴-۱- هدف از تحقیق	۱۵
فصل دوم- بخش تجربی	
۱-۱- دستگاه های مورد استفاده	۱۷
۱-۱-۱- دستگاه های طیف سنجی	۱۷
۱-۱-۱-۱- طیف سنجی IR	۱۷
۱-۱-۱-۲- طیف سنجی UV-VIS	۱۸
۱-۱-۱-۳- طیف سنجی $^1\text{H-NMR}$	۱۸
۱-۱-۲- دستگاه هدایت سنج	۱۸
۱-۱-۳- دستگاه تجزیه عنصری C.H.N	۱۹
۱-۲- دستگاه X-Ray	۱۹
۱-۳-۱- دستگاه ولتاویری چرخه ای	۲۱
۱-۳-۲- مواد شیمیایی	۲۱
۲-۱- خالص سازی مواد	۲۲
۲-۱-۱- خالص سازی اتین دی آمین	۲۲
۲-۱-۲- خالص سازی اتانول	۲۲

۲۲.....	۳-۳-۲- خالص سازی متابل
۲۲.....	۴-۲- سنتز ترکیبات
۲۲.....	۱-۴-۲- سنتز لیگاند N,N - دی پیریدیل اتیلن دی آمین (ترکیب شماره ۱)
۲۳.....	۲-۴-۲- سنتز لیگاند دی آلدئید L^1 (ترکیب های شماره ۲ و ۳)
۲۵.....	۳-۴-۲- سنتز کمپلکس تک فلزی آلدئید $\text{Co}^{\text{II}}\text{L}^1$ (ترکیب شماره ۴)
۲۶.....	۴-۴-۲- سنتز کمپلکس حلقوی ایمینی تک فلزی $[\text{Co}^{\text{II}}\text{L}^2(\text{H}_2)](\text{ClO}_4)_2$ (ترکیب شماره ۵)
۲۸.....	۴-۴-۲- سنتز کمپلکس حلقوی آمینی تک فلزی $[\text{Co}^{\text{II}}\text{L}^3(\text{H}_2)](\text{ClO}_4)_2$ (ترکیب شماره ۶)
۲۹.....	۴-۴-۲- سنتز کمپلکس حلقوی آمینی تک فلزی $[\text{Co}^{\text{III}}\text{L}^3(\text{H}_2)](\text{ClO}_4)_2\text{PF}_6$ (ترکیب ۷)
۳۰.....	۷-۴-۲- سنتز کمپلکس حلقوی آمینی تک فلزی $[\text{Co}^{\text{III}}\text{L}^3(\text{H}_2)](\text{ClO}_4)_3$ (ترکیب ۸)
۳۱.....	۸-۴-۲- سنتز کمپلکس های حلقوی ایمینی و آمینی دوفلزی
۳۱.....	۱-۸-۴-۲- سنتز کمپلکس حلقوی آمینی $[\text{Co}^{\text{III}}\text{L}^3\text{Ni}^{\text{II}}](\text{ClO}_4)_3$ (ترکیب شماره ۹)
۳۲.....	۲-۸-۴-۲- سنتز کمپلکس حلقوی ایمینی $[\text{Co}^{\text{II}}\text{L}^2\text{Ni}^{\text{II}}](\text{ClO}_4)_2$ (ترکیب شماره ۱۰)

فصل سوم - بحث و نتیجه گیری

۳۴.....	۱-۳- کمپلکس های درشت حلقه
۳۴.....	۱-۱-۱- لیگاند آلدئیدی (ترکیب های شماره ۲ و ۳)
۳۵.....	۱-۲-۱- کمپلکس های تک هسته ای
۳۵.....	۱-۲-۱-۳- کمپلکس آلدئیدی (ترکیب شماره ۴)
۴۳.....	۱-۲-۲- کمپلکس حلقوی تک هسته ای ایمینی (ترکیب شماره ۵)
۴۵.....	۱-۳-۲-۱- کمپلکس حلقوی تک هسته ای آمینی (ترکیب شماره ۶)
۴۶.....	۱-۴-۲-۱- کمپلکس حلقوی آمینی کبات (III) (ترکیب شماره ۷ و ۸)
۴۸.....	۱-۳-۱- کمپلکس های دوهسته ای
۴۸.....	۱-۳-۱-۱- کمپلکس حلقوی آمینی دوهسته ای (ترکیب شماره ۹)
۴۹.....	۱-۳-۱-۲- کمپلکس حلقوی ایمینی دوهسته ای (ترکیب شماره ۱۰)

۵۰	۲-۳- مطالعه کمپلکس‌ها
۵۰	۳-۱- الکتروشیمی
۵۲	۲-۲- UV-Vis
۵۴	۳-۳- نتیجه‌گیری
۵۶	۳-۳- پیشنهاداتی برای کارهای آینده

پیوست‌ها

۵۷	پیوست ۱- جدول مربوط به طول و زوایای پیوندی
۵۹	پیوست ۲- طیف IR ترکیبات
۶۸	پیوست ۳- طیف NMR ترکیبات
۷۱	پیوست ۴- طیف UV-VIS ترکیبات
۷۶	پیوست ۵- طیف CV ترکیبات
۸۲	منابع و مراجع

فهرست شکل‌ها

صفحه	عنوان
۳	شکل ۱-۱- لیگاند حلقوی بزرگ دوهسته‌ای
۴	شکل ۱-۲- کمپلکس دوهسته‌ای همسان
۸	شکل ۱-۳- کمپلکس دوهسته‌ای ناهمسان
۹	شکل ۱-۴- درشت حلقه دو فلزی با پایه فولی
۱۶	شکل ۱-۵- کمپلکس درشت حلقة دوهسته‌ای ناهمسان
۲۳	شکل ۱-۶- لیگاند N,N- دی پیریدیل اتین دی آمین (ترکیب شماره ۱)
۲۵	شکل ۲-۱- لیگاند دی آلدئید L^1
۲۶	شکل ۲-۲- کمپلکس تک فلزی $Co^{II}L^1$ (ترکیب ۴)
۲۷	شکل ۲-۳- کمپلکس ایمینی $Co^{II}L^2(H_2)(ClO_4)_2$ (ترکیب شماره ۵)
۲۹	شکل ۲-۴- کمپلکس آمینی تک فلزی $[Co^{II}L^3(H_2)](ClO_4)_2$ (ترکیب شماره ۶)
۳۱	شکل ۲-۵- کمپلکس آمینی تک فلزی $[Co^{III}L^3(H_2)](ClO_4)_3$ (ترکیب ۸)
۳۲	شکل ۲-۶- کمپلکس آمینی دوفلزی $Co^{III}-Ni^{II}$
۳۷	شکل ۳-۱- کمپلکس آلدئیدی ترانس پیریدین، سیس فنولات
۳۷	شکل ۳-۲- کمپلکس آلدئیدی سیس پیریدین، ترانس فنولات
۳۸	شکل ۳-۳- کمپلکس آلدئیدی سیس پیریدین، سیس فنولات
۴۱	شکل ۳-۴- دو نما از ساختار مولکولی کمپلکس تک فلزی آلدئیدی $Co^{II}L^1$ (ترکیب شماره ۴) با احتمال ۵۰٪
۴۲	شکل ۳-۵- آرایش فشرده سلول واحد ترکیب ۴

لیست اصطلاحات به کار رفته

اصطلاحات تخصصی

ϵ	molar absorptivity
IR	infrared
CV	cyclic voltammetry
NMR	nuclear magnetic resonance
ppm	part per million
UV	ultraviolet
Vis	visible
s	singlet
d	doublet
m	multiplet

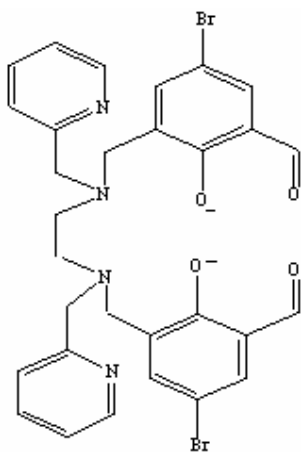
اصطلاحات مربوط به لیگاندها

L^1	aldehydic ligand
L^2	iminic ligand
L^3	aminic ligand
OAc	acetate

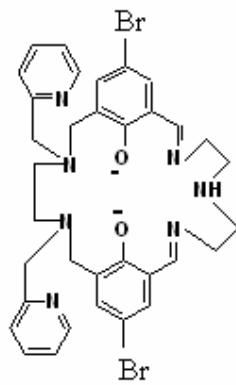
معرفی ترکیبات

لیگاندها و کمپلکسهایی که در این پژوهه معرفی می‌شوند دارای ساختار زیر بوده و به ترتیبی که مشاهده

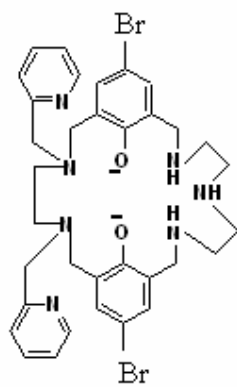
می‌شود نامگذاری می‌گردند.



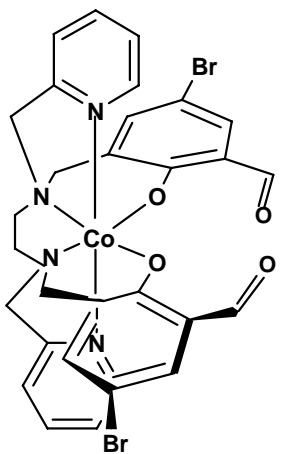
L¹



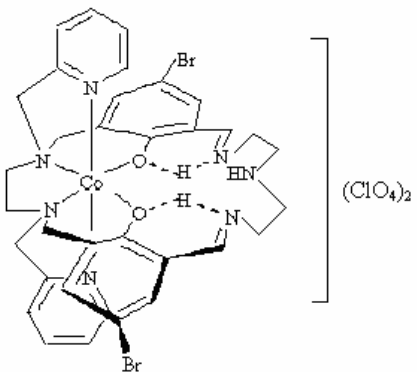
L²



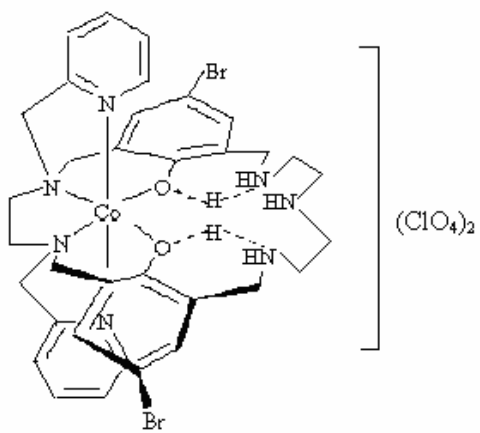
L³



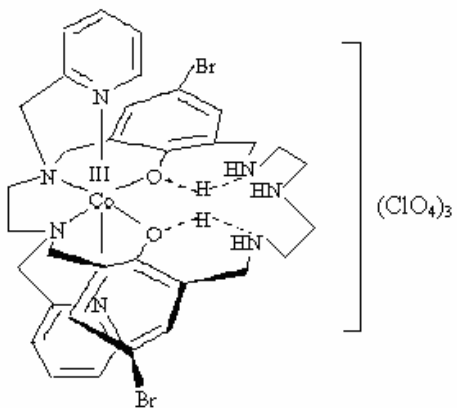
$\text{Co}^{\text{II}}\text{L}^1$



$[\text{Co}^{\text{II}}\text{L}^2(\text{H}_2)](\text{ClO}_4)_2$



$[\text{Co}^{\text{II}}\text{L}^3(\text{H}_2)](\text{ClO}_4)_2$



$[\text{Co}^{\text{III}}\text{L}^3(\text{H}_2)](\text{ClO}_4)_3$

فهرست طرح‌ها

صفحه	عنوان
۵.....	طرح ۱-۱- سنتز الگو کمپلکس‌های دوهسته‌ای همسان
۶.....	طرح ۱-۲- سنتز کمپلکس‌های حلقوی بزرگ دوهسته‌ای همسان با مس(II)
۷.....	طرح ۱-۳- سنتز کمپلکس‌های دوهسته‌ای همسان با لیگاند‌های حلقوی بزرگ با قابلیت انعطاف‌پذیری
۱۱.....	طرح ۱-۴- روش گگه و اکاوا جهت سنتز کمپلکس‌های دوهسته‌ای ناهمسان
۱۲.....	طرح ۱-۵- روش اکاوا برای سنتز کمپلکس‌های ناهمسان با اتصال‌های متفاوت
	N_2O_2
۱۳.....	طرح ۱-۶- روش بوسنیج برای تهیه کمپلکس‌های دوهسته‌ای ناهمسان با دو حفره ۴ و ۶ کثوردینه
۳۵.....	طرح ۳-۱- تهیه لیگاند دی‌آلدئید (ترکیب‌های شماره ۲ و ۳)
۳۶.....	طرح ۳-۲- تهیه کمپلکس آلدئیدی $\text{Co}^{\text{II}}\text{L}^1$ (ترکیب شماره ۴)
۴۴.....	طرح ۳-۳- سنتز کمپلکس ایمینی (ترکیب شماره ۵) از کمپلکس آلدئیدی (ترکیب شماره ۴)
۴۴.....	طرح ۳-۴- سنتز ایزومر دیگر کمپلکس ایمینی (ترکیب شماره ۵) از کمپلکس آلدئیدی
۴۶.....	طرح ۳-۵- سنتز کمپلکس تک‌هسته‌ای آمینی (ترکیب شماره ۶) از کمپلکس تک‌هسته‌ای ایمینی (ترکیب شماره ۵)
۴۷.....	طرح ۳-۶- سنتز کمپلکس تک‌هسته‌ای آمینی $[\text{Co}^{\text{III}}\text{L}^3(\text{H}_2)](\text{ClO}_4)_2\text{PF}_6$ (ترکیب شماره ۷)
۴۸.....	طرح ۳-۷- سنتز کمپلکس تک‌هسته‌ای آمینی $[\text{Co}^{\text{III}}\text{L}^3(\text{H}_2)](\text{ClO}_4)_3$ (ترکیب شماره ۸)
۴۹.....	طرح ۳-۸- سنتز کمپلکس دوفلزی $\text{Co}(\text{III})\text{-Ni}(\text{II})$ (ترکیب شماره ۹)
۵۰.....	طرح ۳-۹- سنتز کمپلکس دوفلزی $\text{Co}(\text{II})\text{-Ni}(\text{II})$ (ترکیب شماره ۱۰) از کمپلکس تک‌هسته‌ای ایمینی (ترکیب شماره ۵)

فهرست جداول

عنوان	صفحة
جدول ۱-۲- داده‌های بلورشناسی مربوط به کمپلکس ۴	۱۹
جدول ۱-۳- مقادیر برخی طول پیوندها و زوایای انتخاب شده ترکیب شماره ۴	۴۳
جدول ۲-۳- پتانسیل‌های کاهش ترکیبات ۵ و ۶ و ۹	۵۱
جدول ۳-۳- مقادیر λ_{max} و ε_{max} کمپلکس ایمینی (ترکیب شماره ۵)	۵۲
جدول ۳-۴- مقادیر λ_{max} و ε_{max} کمپلکس آمینی (ترکیب شماره ۶)	۵۲
جدول ۳-۵- مقادیر λ_{max} و ε_{max} کمپلکس آمینی (ترکیب شماره ۸)	۵۳
جدول ۳-۶- مقادیر λ_{max} و ε_{max} کمپلکس $Co^{III}-Ni^{II}$ (ترکیب شماره ۹)	۵۳
جدول ۳-۷- مقادیر λ_{max} و ε_{max} کمپلکس $Co^{II}-Ni^{II}$ (ترکیب شماره ۱۰)	۵۳

۱- مقدمه و تئوری

۱-۱- ترکیبات درشت حلقه^۱

یک درشت حلقه در واقع یک مولکول بزرگ حلقوی با بیش از ۹ اتم می‌باشد که در حلقه آن حداقل سه اتم دهنده (کوردینه شونده) وجود داشته باشد [۱]. ترکیبات درشت حلقه بخصوص در سال‌های اخیر بدلیل نقش مهمی که در فهم فرایندهای مولکولی در سیستم‌های بیولوژیکی، علم مواد، کاتالیزگرهای، فعال‌سازی، پدیده‌های انتقال و جداسازی و هیدرومتوالوژی و غیره ایفا می‌کنند، بسیار مورد توجه قرار گرفته‌اند [۲-۹]. لیگاندهای بسیاری جهت شیوه‌سازی عملکرد حامل‌های طبیعی در تشخیص و انتقال یون‌های فلزی خاص، یون‌ها و یا مولکول‌های خنثی و همچنین فهم و شیوه‌سازی فعالیت کاتالیزگری آنزیم‌های فلزی و پروتئین‌ها طراحی شده‌اند [۱۰-۱۲]. در این مطالعات ترکیبات شیف باز^۲ جهت اثبات نقش اتم‌های دهنده گوناگون، جایگاه نسبی آنها، تعداد و اندازه حلقه‌های کیلیت و انعطاف‌پذیری بطور گسترده‌ای مورد استفاده قرار گرفته‌اند [۱۰-۱۲].

¹ Macrocycle
² Schiff base

تکامل تدریجی ترکیبات باز-شیف و تراکم باز-شیف حلقه‌ای [۱۳] منجر به معرفی درشت حلقه‌های دو حلقه‌ای حاصل از تراکم چندگانه تک مرحله‌ای [۲-۹] و همچنین افزایش تولید سیستم‌های کوردیناسیونی گردید [۱۴]. علاوه بر کاربرد چنین سیستم‌هایی در زمینه شناسایی مولکولی، کاتالیزگرهای استفاده از این قفس-های مولکولی جهت ثبت گونه‌های خاص محتمل است.

طیعت و حالت اتم‌های دهنده در قفس ثابت ممکن است پایداری جایگاه اکسایش در یون فلزی کوردینه را افزایش داده و از گونه فعال محافظت کند. درنتیجه ترکیبی از این خواص سبب می‌شود که واکنش-های حساس به رطوبت در دمای اتاق و در معرض هوا انجام گیرد.

لیگاندهای درشت حلقه با بازوهای آویخته و کمپلکس‌های مربوطه نیز مورد توجه بسیار قرار گرفتند [۱۸-۱۵]. بازوایی با جایگاه دهنده چندنیتروژنی و چنداکسیژنی جهت بهبود خواص کمپلکس‌ها نسبت به انواع قبلی به لیگاندهای درشت حلقه اضافه شدند [۱۹-۲۱].

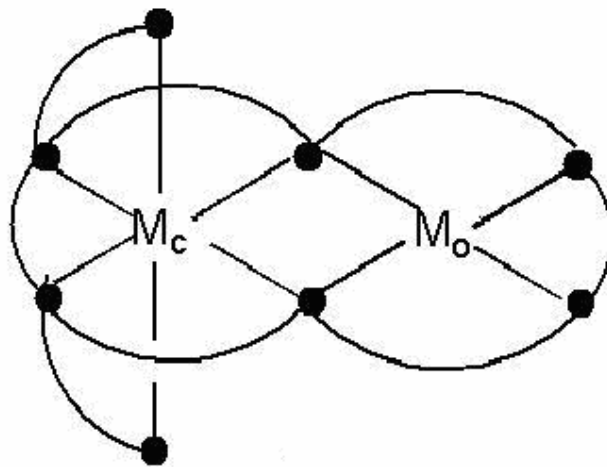
بنابراین یک لیگاند حلقوی بزرگ می‌تواند با اتمهای کوردینه‌شونده خود با یک فلز پیوند تشکیل-دهد. کمپلکس‌های حلقوی بزرگ نسبت به کمپلکس‌های غیرحلقوی پایداری ترمودینامیکی و سینتیکی بیشتری دارند و این پایداری موجب شده تا از کمپلکس‌های حلقوی بزرگ بعنوان مدل‌هایی برای فلز-پروتئین‌ها و در گستره‌ی وسیعی در کاربردهای صنعتی استفاده شود. در واقع اصطلاح لیگاند دوهسته‌ای در سال ۱۹۷۰ برای یک دسته از لیگاندهایی که توانایی نگهداشتن دو فلز را با هم داشته باشند، بکار برده شد [۲۲-۲۳]. هدف از تهیه این لیگاندهای دوهسته‌ای و کمپلکس‌های فلزی دوهسته‌ای مربوطه، اتصال آنها به مولکولهای کوچکی همچون اکسیژن، کربن مونوکسید و کربن دی اکسید و فعال کردن این مولکولها برای اهداف موردنظر می‌باشد [۲۴].

در سال ۱۹۷۰ افزایش قابل ملاحظه‌ای در سنتز لیگاندهای دوهسته‌ای و کمپلکس‌های مربوطه صورت گرفت. کمپلکس‌های بدست آمده بوسیله این لیگاندهای دوهسته‌ای به دو دسته کلی تقسیم می‌شوند [۲۵-۲۹].

الف) کمپلکس‌هایی که در آن اتمهای دهنده (کوردینه‌شونده) بین دو فلز مشترک نیستند ب) کمپلکس‌هایی که در آن فلزات حداقل در یک اتم کوردینه‌شونده لیگاند مشترک هستند که این اتمهای دهنده مرکزی یک پل را بین دو فلز بوجود می‌آورند. از طرفی در صورتیکه لیگاند پل‌ساز، دو فلز یکسان را به یکدیگر مرتبط سازد کمپلکس حاصل را کمپلکس دوهسته‌ای همسان^۱ و در صورت متفاوت بودن دوفلز، کمپلکس حاصل را کمپلکس دوهسته‌ای ناهمسان^۲ می‌نامند.

از جمله لیگاندهای حلقوی بزرگ که اخیراً مورد توجه زیادی قرار گرفته است لیگاندهای دوهسته‌ای

شکل ۱-۱ می‌باشد [۳۰].



شکل ۱-۱: لیگاند حلقوی بزرگ دوهسته‌ای

چنین لیگاندهایی دو قسمت دارند: یکی حفره‌بسته^۳ که فلز (M_c) موجود در این حفره به طور کامل به وسیله شش لیگاند کوردینه می‌شود و دیگری حفره باز^۴ که فلز (M_o) موجود در این حفره می‌تواند بواسیله چهار

¹ Homo Bimetallic Complex

² Hetero Bimetallic Complex

³ Closed-site

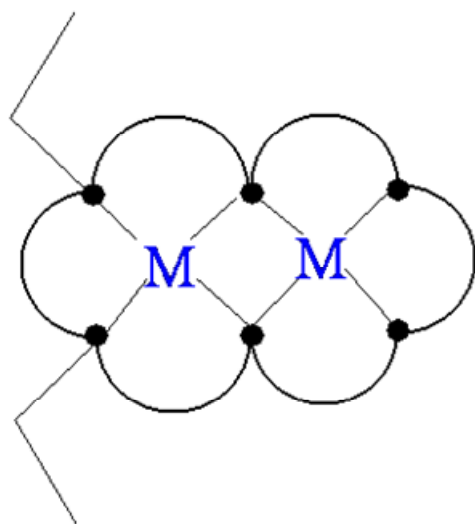
⁴ open-site

یا پنج لیگاند کورده شود. همچنین این لیگاند دارای اتصالاتی است که نوع این اتصالات در تعیین نوع ایزومرهای ممکن و همچنین اندازه حفره اهمیت خاصی دارد [۳۱، ۲۴، ۳۲]. به اتصال مربوط به قسمت حفره بسته اتصال بسته^۱ و به اتصال مربوط به قسمت حفره باز اتصال باز^۲ گفته می‌شود.

۲-۱- سنتز کمپلکس‌های دو هسته‌ای

۱-۱- کمپلکس‌های دو هسته‌ای همسان

مطالعات زیادی جهت تهیه کمپلکس‌های دو هسته‌ای همسان مشابه شکل ۲-۱ با لیگاندهای غیرحلقوی متقارن و نامتقارن انجام گرفته است. دسته‌ای از این نوع کمپلکسها بوسیله روش الگو^۳ [۳۳] بوسیله واکنش یک پلی‌آمین و نمک فلز با ترکیب مناسبی همچون ۶-دی‌فرمیل-۴-متیل‌فنل (ترکیب ۱) و یا مشتقات آن در حلal الکلی [۳۴-۳۶] بوجود می‌آیند. (طرح ۱-۱)

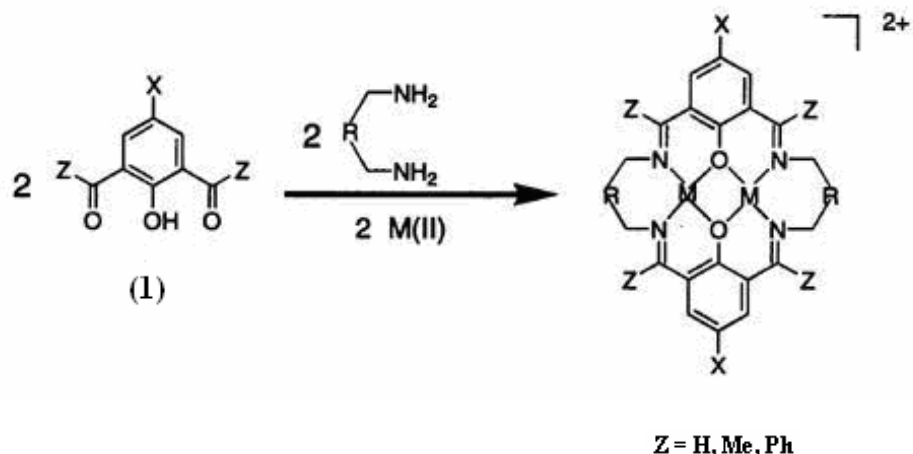


شکل ۱-۱ : کمپلکس دو هسته‌ای همسان

^۱ Closed-link

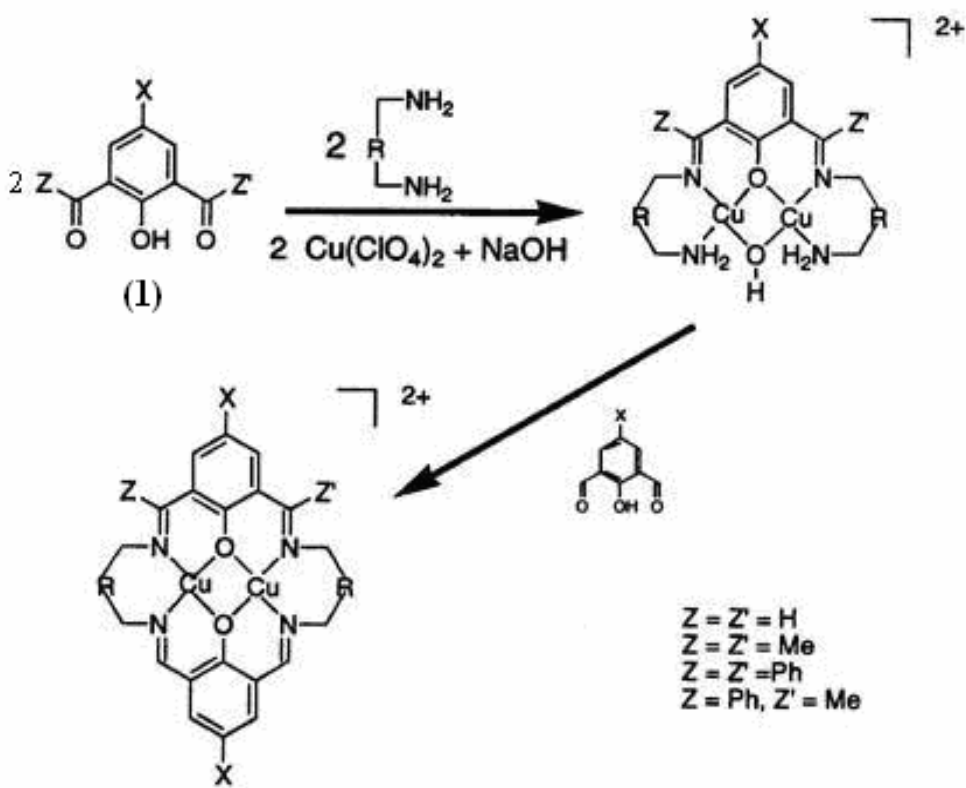
^۲ open-link

^۳ Template



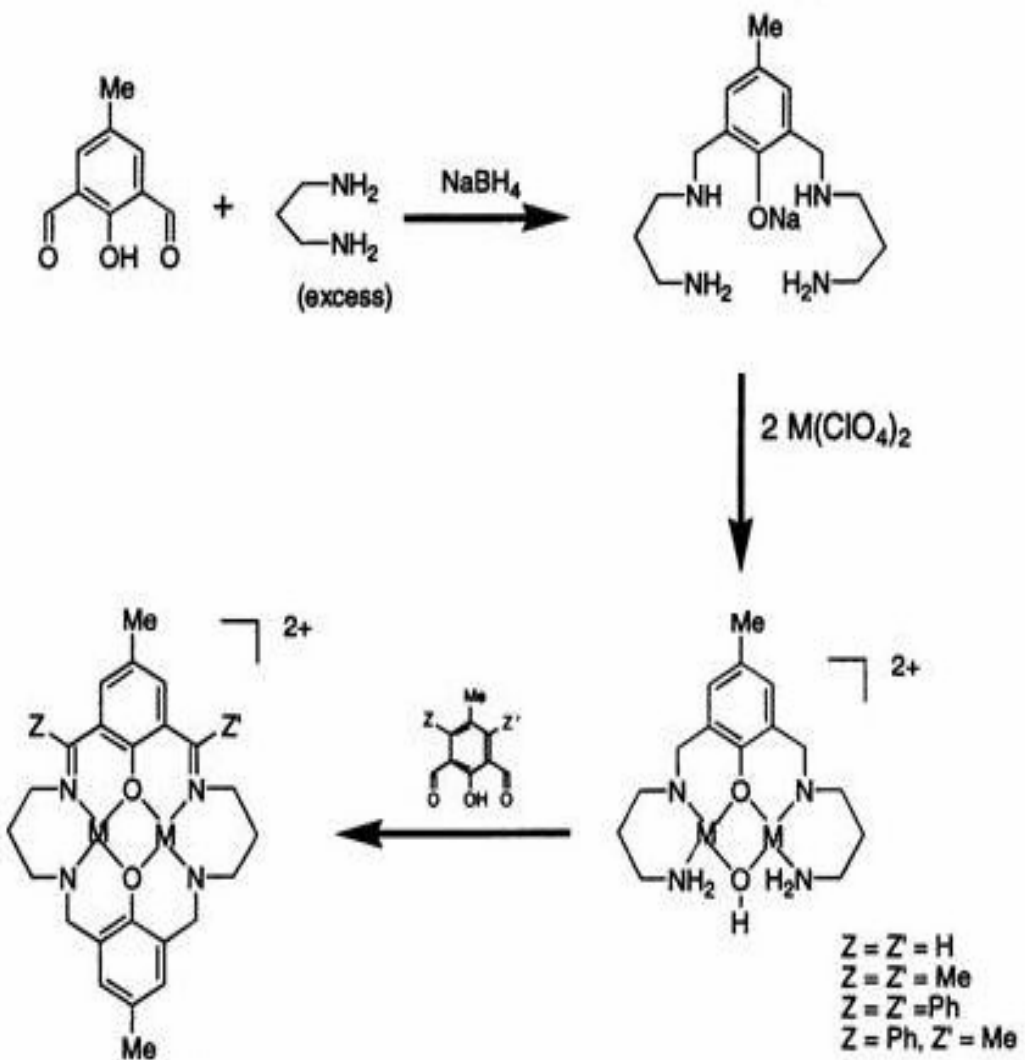
طرح ۱-۱: سنتز الگو کمپلکس‌های دوهسته‌ای همسان

با این روش یک دسته از کمپلکس‌های دوهسته‌ای مس (II) بوسیله واکنش ترکیب ۱ در حضور نمک مس (II) پرکرات، دی‌آمین و NaOH در محلول متانول تهیه شد [۳۷-۳۸]. همانطوریکه ملاحظه می‌گردد در این واکنش فقط یک انتهای دی‌آمین به هر یک از کربونیل‌ها متصل می‌شود و همچنین در کمپلکس دوهسته‌ای تشکیل شده اتمهای مس بوسیله گروه‌های پل‌ساز اکسیژن به یکدیگر متصل می‌شوند. (طرح ۲-۱)



طرح ۲-۱: سنتز کمپلکس‌های حلقوی بزرگ و دوهسته‌ای همسان با مس (II)

یک دستهٔ دیگر از لیگاندها با قابلیت انعطاف پذیری بیشتر بوسیله واکنش ۶،۲-دی‌فرمیل-۴-متیل‌فلن با مقدار اضافی از اتیلن دی‌آمین [۳۸-۳۹] یا ۱ و ۳-دی‌آمینو پروپان [۳۹] در دمای جوش متانول تهیه شدند و برای احیاء محصول تولید شده از NaBH_4 استفاده شده است. با بکاربردن این لیگاندها کمپلکس‌های مس (II) طبق طرح ۳-۱ بدست می‌آیند.



طرح ۳-۱ : سنتز کمپلکس‌های دوهسته‌ای همسان با لیگاندهای حلقوی بزرگ با قابلیت انعطاف پذیری بیشتر

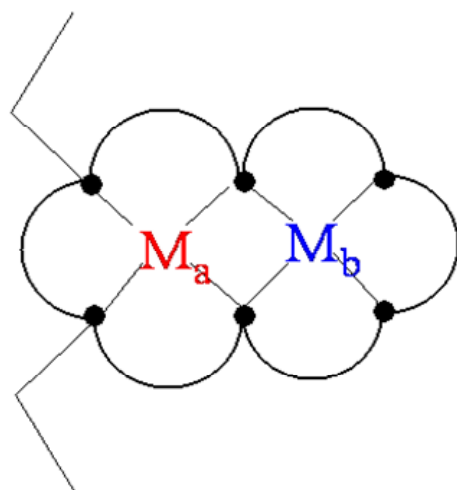
۲-۲-۲- کمپلکس‌های دوهسته‌ای ناهمسان

کمپلکس‌های دوهسته‌ای ناهمسان مشابه شکل ۳-۱ بدلیل خواص فیزیکوشیمیایی ناشی از اندرکنش‌های

فلزی [۴۰-۴۵] و همچنین توانایی ذاتی جهت شرکت در واکنش‌های اکسید و احیایی بعنوان منع الکترون بسیار

موردنظر می‌باشند [۴۶-۴۷]. بهویژه تشخیص حضور حفره‌های دوفلزی ناهمسان در جایگاه‌های فعال اسید

فسفات‌از (Fe, Zn) [۴۸] و فسفات‌های پروتئینی انسانی (Fe, Mn) [۴۹] انگیزه بسیاری جهت مطالعه کارایی حفرات کمپلکس‌های فلزی ایجاد نموده است. درشت‌حلقه‌ای با جایگاه‌های کوردیناسیون نابرابر جهت مطالعه کمپلکس‌های فلزی ناهمسان بسیار مفید است. زیرا چنین کمپلکس‌های درشت‌حلقه‌ای از لحاظ ترمودینامیکی پایدار بوده و از نظر سینتیکی در مقابل تفکیک فلزی و یا جابجایی مربوط به کمپلکس‌های مشابه با لیگاند غیر‌حلقوی مقاومند که به این خاصیت اثر درشت‌حلقه گویند^۱ [۵۰].



شکل ۳-۱: کمپلکس دوهسته‌ای ناهمسان

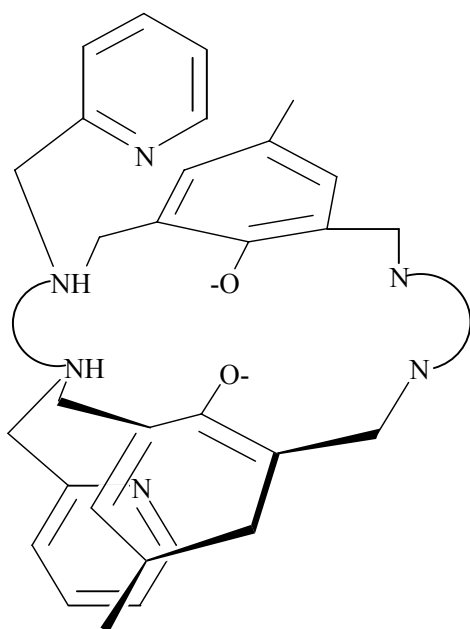
درشت‌حلقه‌های دو فلزی با پایه فنولی اغلب جهت مطالعه کمپلکس‌های دو فلزی مورد استفاده قرار گرفته‌اند [۶۸-۷۱]. درشت‌حلقه‌های مشابه شکل ۱-۴ که دارای دو جایگاه فلزی متفاوت به دلیل محیط‌های کوردیناسیونی ناهمسان می‌باشند بواسیله بوسنیچ^۲ [۳۱ و ۶۹] و بوش^۳ [۵۱] و همکارانشان مورد مطالعه قرار گرفته‌اند. این لیگاند درشت‌حلقه دارای دو جزء شامل یک جایگاه بسته شش کوردینه و حفره باز چهار کوردینه در مجاورت آن می‌باشد. عامل محدود‌کننده روش سنتزی بوسنیچ و بوش در تهیه این لیگاند تعداد مراحل زیاد و

¹ Macrocylic Effect

² Bosnich

³ Busch

همچنین راندمان کم می‌باشد [۷۱]. در سال ۱۹۹۸ گلچویان روش سنتری بوسنیج را بهبود بخشیده بطوریکه این ترکیب با مراحل کمتر و راندمان بالا تهیه شد [۷۲-۷۳].



شکل ۱-۴: درشت حلقه دو حفره‌ای با پایه فنولی

سنتز کمپلکس‌های دو هسته‌ای ناهمسان مشکل‌تر از کمپلکس‌های دو هسته‌ای همسان می‌باشد زیرا در سنتز کمپلکس‌های دو هسته‌ای همسان دو فلز طی یک مرحله به لیگاند مورد نظر اضافه می‌گردد در صورتی که درمورد کمپلکس‌های دو هسته‌ای ناهمسان باید سنتز مرحله به مرحله صورت گیرد. یعنی ابتدا فلز اول به لیگاند دو حفره‌ای مورد نظر اضافه می‌گردد تا کمپلکس تک هسته‌ای تشکیل شود سپس فلز دوم به کمپلکس تک هسته‌ای حاصل اضافه می‌گردد تا کمپلکس دو هسته‌ای مورد نظر تشکیل شده و به این ترتیب از تشکیل کمپلکس‌های دو هسته‌ای همسان جلوگیری شود. یک دسته از کمپلکس‌های دو هسته‌ای ناهمسان بوسیله گگه^۱ و اکاوا^۲ سنتز شده است [۷۴-۷۵] در این روش که شمای کلی آن در طرح ۱-۴ نشان داده شده است دو حفره همسان

¹Gagne
²Okawa